

九州大学 工学部 正員 山崎徳也
 * 学生員 〇金子忠男

1. 緒言

板には、矩形、平行四辺形、台形、三角形、円形、扇形など種々の形状があり、そのうち矩形板や円形板に関する振動解析は古くから多くの人々により行なわれており、枚挙にいとまがない。しかし、扇形板に関する限り、R.A. Westmann⁽¹⁾および著者らの研究があるに過ぎず、しかもこれらはいずれも一径間の扇形板についての報告であり、連続扇形板に関する研究は未だ見受けられない。本研究は、道路橋や鉄道橋の曲線部に多見される直線辺が橋台や橋脚で単純支持され、中間にマ円弧状の支承で支持される連続扇形板を対象とし、その自由振動問題の解法を提示し、あわせて扇形板の振動特性を明らかにせんとするものである。なお、本問題の扇形板は等方性で、薄板理論を適用するものとする。

2. 解法

(1) 基礎微分方程式 図-1(a)に示すごとく、点Oを中心とし半径がそれぞれ r_1, r_2, \dots, r_{m-1} なる同心円弧AB, CDと中心Oを通り互いに角度 α (Rad.) の開きをもつ二直線AC, BDとで囲まれる扇形板ABDCを考へ、板の中立面上に中心Oを原点とする円筒座標(r, θ, z)を導入する。

扇形板ABDCは直線辺AC, BDで単純支持され、円弧辺AB, CDで任意支持されるとともに中間で円弧状の支承1, 2, ..., m-1により単純支持されるものとし、中心Oから各中間支承までの距離を r_1, r_2, \dots, r_{m-1} とする。かかるとき、これらの中間支承で分割された単位扇形板に円弧辺AB側より順次1, 2, ..., mなる番号を付し、第i番目の単位扇形板(以下単に扇形板iと称す)を取り出せば(図-1(b)参照)、次のごとく自由振動の微分方程式が成立す。

$$\left(\frac{\partial^2}{\partial r^2} + \frac{1}{r} \frac{\partial}{\partial r} + \frac{1}{r^2} \frac{\partial^2}{\partial \theta^2} \right)^2 w_i + \frac{\rho_i h_i}{D_i} \frac{\partial^2 w_i}{\partial t^2} = 0 \quad (1)$$

ここに、
 w_i ; 扇形板iの正軸方向のたわみ,
 ρ_i ; 扇形板iの板密度,
 h_i ; 扇形板iの板厚,

$D_i = E_i R_i^3 / \{12(1-\nu_i^2)\}$; 扇形板iの板剛度,
 E_i ; 扇形板iの弾性係数,

ν_i ; 扇形板iのポアソン比,
 t ; 時間。

式(1)は、中心Oから扇形板iの節線までの距離 r_i を規準長さに取れば、次のごとく無次元表示される。

$$\left(\frac{\partial^2}{\partial \xi^2} + \frac{1}{\xi} \frac{\partial}{\partial \xi} + \frac{1}{\xi^2} \frac{\partial^2}{\partial \theta^2} \right)^2 W_i + \frac{\rho_i h_i}{D_i} \xi^4 \frac{\partial^2 W_i}{\partial t^2} = 0 \quad (2)$$

ここに、
 $\xi = r/r_i$.

式(2)はその一般解を ξ, θ, t の変数分離形で仮定すれば、 ξ についての Bessel および変形 Bessel の微分方程式に分解される。したがって、一般解 W_i は次式で与えられることとなる。

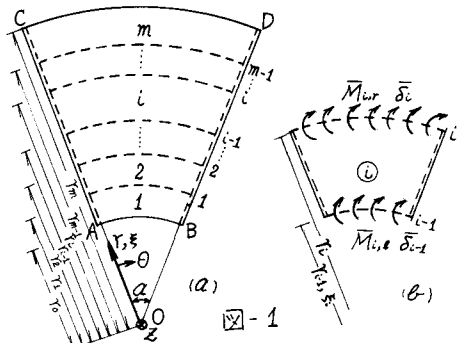


図-1

$$W_i = W_i(\xi, \theta) \cos \omega t = \{A_i J_{an}(\rho_i \xi) + B_i Y_{an}(\rho_i \xi) + C_i I_{an}(\rho_i \xi) + D_i K_{an}(\rho_i \xi)\} \sin \alpha n \theta \cos \omega t \quad (3)$$

ここに, $J_{an}(\rho_i \xi), Y_{an}(\rho_i \xi)$; an 次の第1種および第2種 Bessel 関数,

$I_{an}(\rho_i \xi), K_{an}(\rho_i \xi)$; an 次の変形された第1種および第2種の Bessel 関数,

$$\rho_i = r_i \sqrt{\frac{p_i q_i}{D_i}} \omega^2, \quad \alpha_n = \frac{n\pi}{a}, \quad n=1, 2, \dots, \quad \omega; \text{扇形板の固有円振動数},$$

A_i, B_i, C_i, D_i ; 積分定数.

式(3)に含まれる4つの積分定数 $A_i \sim D_i$ は扇形板 i の内弧辺の境界条件により決定される。すなはち, 扇形板の節線 $i-1$ および i において, 端モーメント M_{ie}, M_{ir} が作用し, 支承沈下 \bar{s}_{i-1}, \bar{s}_i が生ずるものとすれば, これらはいずれも時間 t の関数で与えられ, 次式のごとく仮定される。

$$\begin{aligned} \bar{M}_{ie} &= M_{ie} \sin \alpha n \theta \cos \omega t, & \bar{s}_{i-1} &= s_{i-1} \sin \alpha n \theta \cos \omega t, \\ \bar{M}_{ir} &= M_{ir} \sin \alpha n \theta \cos \omega t, & \bar{s}_i &= s_i \sin \alpha n \theta \cos \omega t. \end{aligned} \quad \left. \right\} \quad (4)$$

ここに, $M_{ie}, M_{ir}, s_{i-1}, s_i$ は任意定数。

よって, 積分定数 $A_i \sim D_i$ を決定するための境界条件式を次のとく表わすことができる。

$$\begin{aligned} \xi = \xi_i \pi, \quad W_i &= s_{i-1} \sin \alpha n \theta, \quad -D_i \left\{ \frac{\partial^2 W_i}{\partial \xi^2} + \nu \left(\frac{1}{\xi} \frac{\partial W_i}{\partial \xi} + \frac{1}{\xi^2} \frac{\partial^2 W_i}{\partial \theta^2} \right) \right\} = M_{ie} \sin \alpha n \theta. \\ \xi = 1 \pi, \quad W_i &= s_i \sin \alpha n \theta, \quad -D_i \left\{ \frac{\partial^2 W_i}{\partial \xi^2} + \nu \left(\frac{1}{\xi} \frac{\partial W_i}{\partial \xi} + \frac{1}{\xi^2} \frac{\partial^2 W_i}{\partial \theta^2} \right) \right\} = -M_{ir} \sin \alpha n \theta. \end{aligned} \quad \left. \right\} \quad (5)$$

ここに, $\xi_i = r_{i-1}/r_i$.

式(5)に式(3)の規準関数 $W_i(\xi, \theta)$ を代入して得られた連立方程式を解けば, 未知積分定数 $A_i \sim D_i$ が、結局, 次のごとく求められる。

$$\begin{aligned} A_i &= \left[\frac{1}{J_{an}(\rho_i \xi_i)} \cdot \frac{1}{H_i} \left\{ Y_{an}(\rho_i \xi_i) \cdot P_i + I_{an}(\rho_i \xi_i) \cdot \Delta_i - K_{an}(\rho_i \xi_i) \cdot L_i \right\} \delta_i + \left[\frac{1}{J_{an}(\rho_i \xi_i)} \cdot \frac{1}{H_i} \left\{ Y_{an}(\rho_i \xi_i) \cdot \bar{P}_i \right. \right. \right. \\ &\quad \left. \left. \left. - I_{an}(\rho_i \xi_i) \cdot \bar{P}_{i-1} + K_{an}(\rho_i \xi_i) \cdot \Omega_i \right\} + \frac{1}{J_{an}(\rho_i \xi_i)} + \frac{Y_{an}(\rho_i \xi_i)}{\xi_i} \cdot \frac{J_{an}(\rho_i)}{J_{an}(\rho_i \xi_i)} \right] \delta_{i-1} + \frac{1}{J_{an}(\rho_i \xi_i)} \cdot \frac{1}{H_i} \left\{ - Y_{an}(\rho_i \xi_i) \cdot F_i \right. \\ &\quad \left. + I_{an}(\rho_i \xi_i) \cdot G_i - K_{an}(\rho_i \xi_i) \cdot L_i \right\} \frac{M_{ie}}{D_i} + \frac{1}{J_{an}(\rho_i \xi_i)} \cdot \frac{1}{H_i} \left\{ - Y_{an}(\rho_i \xi_i) \cdot \bar{F}_i + I_{an}(\rho_i \xi_i) \cdot \bar{G}_i - K_{an}(\rho_i \xi_i) \cdot \bar{L}_i \right\} \frac{M_{ie}}{D_i}, \\ B_i &= \left\{ - \frac{P_i}{H_i} + \frac{J_{an}(\rho_i \xi_i)}{\xi_i} \right\} \delta_i - \left\{ \frac{\bar{P}_i}{H_i} + \frac{J_{an}(\rho_i)}{\xi_i} \right\} \delta_{i-1} + \frac{F_i}{H_i} \frac{M_{ie}}{D_i} + \frac{\bar{F}_i}{H_i} \frac{M_{ie}}{D_i}, \\ C_i &= - \frac{\Delta_i}{H_i} \delta_i + \frac{\Psi_i}{H_i} \delta_{i-1} - \frac{G_i}{H_i} M_{ir} - \frac{\bar{G}_i}{H_i} M_{ie}, \quad D_i = \frac{\Delta_i}{H_i} \delta_i - \frac{\Omega_i}{H_i} \delta_{i-1} + \frac{L_i}{H_i} \frac{M_{ir}}{D_i} + \frac{\bar{L}_i}{H_i} \frac{M_{ie}}{D_i}. \end{aligned} \quad \left. \right\} \quad (6)$$

ここに, $P_i = (\bar{C}_i \Delta_i + \bar{D}_i \Omega_i)$, $\Delta_i = f_i p_i - f_i \bar{p}_i$, $\Lambda_i = f_i j_i - f_i \bar{j}_i$, $\bar{\Psi}_i = (\bar{C}_i \Psi_i - \bar{D}_i \Omega_i)$,

$$\Psi_i = \bar{p}_i p_i - \bar{g}_i \bar{p}_i, \quad \Omega_i = \bar{p}_i \bar{j}_i - \bar{g}_i \bar{j}_i, \quad F_i = \bar{p}_i (\bar{C}_i p_i - \bar{D}_i \bar{j}_i)/\bar{\xi}_i, \quad F_{\bar{i}} = \bar{p}_i (\bar{C}_i \bar{p}_i - \bar{D}_i \bar{j}_i)/\bar{\xi}_i,$$

$$G_i = \bar{p}_i p_i, \quad G_{\bar{i}} = \bar{p}_i \bar{p}_i, \quad L_i = \bar{p}_i j_i, \quad L_{\bar{i}} = \bar{p}_i \bar{j}_i, \quad f_i = g_i J_{an}(\rho_i \xi_i) - \bar{g}_i \bar{J}_{an}(\rho_i \xi_i), \quad g_i = g_i J_{an}(\rho_i \xi_i),$$

$$\bar{p}'_i = \bar{g}_i J_{an}(\rho_i), \quad \bar{f}_i = \bar{g}_i J_{an}(\rho_i \xi_i) - \bar{g}_i \bar{J}_{an}(\rho_i), \quad \bar{p}_i = \bar{g}_i \bar{\xi}_i - \bar{g}_i \bar{c}_i, \quad p_i = g_i \bar{\xi}_i - \bar{g}_i c_i,$$

$$\bar{j}_i = \bar{g}_i \bar{c}_i - \bar{g}_i \bar{c}'_i, \quad \bar{d}_i = \bar{g}_i \bar{j}_i - \bar{g}_i \bar{d}'_i, \quad g_i = Y_{an}(\rho_i) J_{an}(\rho_i \xi_i) - Y_{an}(\rho_i \xi_i) J_{an}(\rho_i),$$

$$g'_i = Y_{an}(\rho_i) J_{an}(\rho_i) - Y_{an}(\rho_i) J_{an}(\rho_i \xi_i), \quad \bar{c}_i = Y_{an}(\rho_i) J_{an}(\rho_i \xi_i) - Y_{an}(\rho_i \xi_i) J_{an}(\rho_i), \quad c_i = J_{an}(\rho_i) J_{an}(\rho_i \xi_i) - J_{an}(\rho_i \xi_i) J_{an}(\rho_i),$$

$$c'_i = \bar{J}_{an}(\rho_i) J_{an}(\rho_i), \quad \bar{c}_i = \bar{J}_{an}(\rho_i) J_{an}(\rho_i \xi_i) - \bar{J}_{an}(\rho_i \xi_i) J_{an}(\rho_i), \quad d_i = K_{an}(\rho_i) J_{an}(\rho_i \xi_i) - K_{an}(\rho_i \xi_i) J_{an}(\rho_i),$$

$$d'_i = K_{an}(\rho_i) J_{an}(\rho_i) - K_{an}(\rho_i) J_{an}(\rho_i \xi_i), \quad \bar{d}_i = K_{an}(\rho_i) J_{an}(\rho_i \xi_i) - K_{an}(\rho_i \xi_i) J_{an}(\rho_i),$$

$$\bar{J}_{an}(\rho_i \xi_i) = \bar{p}_i^2 \left[\left\{ \frac{(1-\nu) J_{an}(\rho_i \xi_i)}{\bar{p}_i^2 \xi_i^2} - 1 \right\} J_{an}(\rho_i \xi_i) + \frac{(1-\nu)}{\bar{p}_i \xi_i} J_{an+1}(\rho_i \xi_i) \right], \quad \bar{Y}_{an}(\rho_i \xi_i) = \bar{p}_i^2 \left[\left\{ \frac{(1-\nu) J_{an}(\rho_i \xi_i)}{\bar{p}_i^2 \xi_i^2} - 1 \right\} Y_{an}(\rho_i \xi_i) + \frac{(1-\nu)}{\bar{p}_i \xi_i} Y_{an+1}(\rho_i \xi_i) \right],$$

$$\bar{I}_{an}(\rho_i \xi_i) = \bar{p}_i^2 \left[\left\{ \frac{(1-\nu) J_{an}(\rho_i \xi_i)}{\bar{p}_i^2 \xi_i^2} + 1 \right\} I_{an}(\rho_i \xi_i) - \frac{(1-\nu)}{\bar{p}_i \xi_i} I_{an+1}(\rho_i \xi_i) \right], \quad \bar{K}_{an}(\rho_i \xi_i) = \bar{p}_i^2 \left[\left\{ \frac{(1-\nu) J_{an}(\rho_i \xi_i)}{\bar{p}_i^2 \xi_i^2} + 1 \right\} K_{an}(\rho_i \xi_i) + \frac{(1-\nu)}{\bar{p}_i \xi_i} K_{an+1}(\rho_i \xi_i) \right].$$

(2) 斜角一端モードの誘導

図-1(a)に示す扇形板の節線 $i-1$ および i における斜角をそれぞれ $\bar{\theta}_{i-1}, \bar{\theta}_i$ とする。いま $\bar{\theta}_i$ と $\bar{\theta}_{i-1}$ の関数形状は式(4)と全く同様に次のとく仮定する。

$$\bar{\theta}_{i-1} = \theta_{i-1} \sin \alpha n \theta \cos \omega t, \quad \bar{\theta}_i = \theta_i \sin \alpha n \theta \cos \omega t. \quad (\theta_{i-1}, \theta_i \text{ は任意定数}) \quad (7)$$

他方、式(3)に関する変数の一次微係数を求め、その結果に節線の座標値をおよび ξ を代入すれば、扇形板*i*上の節線*i-1, i*におけるたわみ角が求められる。これらと式(7)とを等置するところにより、次のことを関係式が得られる。

$$\left. \begin{aligned} S_{i-1} &= \{ S_i J_{\alpha}'(\rho_i \xi_i) + S_i' Y_{\alpha}'(\rho_i \xi_i) + S_i I_{\alpha}'(\rho_i \xi_i) + S_i K_{\alpha}'(\rho_i \xi_i) \} \delta_{i-1} + \{ t_i J_{\alpha}'(\rho_i \xi_i) + t_i' Y_{\alpha}'(\rho_i \xi_i) + t_i I_{\alpha}'(\rho_i \xi_i) \\ &\quad + t_i K_{\alpha}'(\rho_i \xi_i) \} \delta_i + \{ u_i J_{\alpha}'(\rho_i \xi_i) + u_i' Y_{\alpha}'(\rho_i \xi_i) + u_i I_{\alpha}'(\rho_i \xi_i) + u_i K_{\alpha}'(\rho_i \xi_i) \} \frac{M_{i-1, \ell}}{D_i} + \{ v_i J_{\alpha}'(\rho_i \xi_i) \\ &\quad + v_i' Y_{\alpha}'(\rho_i \xi_i) + v_i I_{\alpha}'(\rho_i \xi_i) + v_i K_{\alpha}'(\rho_i \xi_i) \} \frac{M_{i, r}}{D_i}, \\ S_i &= \{ S_i J_{\alpha}'(\rho_i) + S_i' Y_{\alpha}'(\rho_i) + S_i I_{\alpha}'(\rho_i) + S_i K_{\alpha}'(\rho_i) \} \delta_{i-1} + \{ t_i J_{\alpha}'(\rho_i) + t_i' Y_{\alpha}'(\rho_i) + t_i I_{\alpha}'(\rho_i) \\ &\quad + t_i K_{\alpha}'(\rho_i) \} \delta_i + \{ u_i J_{\alpha}'(\rho_i) + u_i' Y_{\alpha}'(\rho_i) + u_i I_{\alpha}'(\rho_i) + u_i K_{\alpha}'(\rho_i) \} \frac{M_{i-1, \ell}}{D_i} + \{ v_i J_{\alpha}'(\rho_i) \\ &\quad + v_i' Y_{\alpha}'(\rho_i) + v_i I_{\alpha}'(\rho_i) + v_i K_{\alpha}'(\rho_i) \} \frac{M_{i, r}}{D_i}. \end{aligned} \right\} \quad (8)$$

$$\text{ここで, } S_i = \frac{1}{J_{\alpha}(\rho_i \xi_i)} \cdot \frac{1}{H_i} \{ Y_{\alpha}(\rho_i \xi_i) \bar{S}_i - I_{\alpha}(\rho_i \xi_i) \bar{U}_i + K_{\alpha}(\rho_i \xi_i) \bar{V}_i \} + \frac{1}{J_{\alpha}(\rho_i \xi_i)} + \frac{Y_{\alpha}(\rho_i \xi_i)}{\bar{S}_i} \cdot \frac{J_{\alpha}(\rho_i \xi_i)}{J_{\alpha}(\rho_i \xi_i)}, \\ S_i' = -\frac{\bar{S}_i}{H_i} - \frac{J_{\alpha}(\rho_i \xi_i)}{\bar{S}_i}, \quad S_i = -\frac{\bar{S}_i}{H_i}, \quad t_i = \frac{1}{J_{\alpha}(\rho_i \xi_i)} \cdot \frac{1}{H_i} \{ Y_{\alpha}(\rho_i \xi_i) \bar{T}_i + I_{\alpha}(\rho_i \xi_i) \bar{U}_i \Delta_i \\ - K_{\alpha}(\rho_i \xi_i) \bar{V}_i \} - \frac{Y_{\alpha}(\rho_i \xi_i)}{\bar{S}_i}, \quad t_i' = -\frac{\bar{T}_i}{H_i} + \frac{J_{\alpha}(\rho_i \xi_i)}{\bar{S}_i}, \quad t_i = -\frac{\bar{T}_i}{H_i}, \quad \bar{T}_i = \frac{A_i}{H_i}, \\ U_i = \frac{1}{J_{\alpha}(\rho_i \xi_i)} \cdot \frac{1}{H_i} \{ -Y_{\alpha}(\rho_i \xi_i) \bar{T}_i + I_{\alpha}(\rho_i \xi_i) \bar{G}_i - K_{\alpha}(\rho_i \xi_i) \bar{L}_i \}, \quad U_i' = \frac{\bar{F}_i}{H_i}, \quad \bar{U}_i = -\frac{\bar{G}_i}{H_i}, \quad \bar{U}_i = \frac{\bar{L}_i}{H_i}, \\ V_i = \frac{1}{J_{\alpha}(\rho_i \xi_i)} \cdot \frac{1}{H_i} \{ -Y_{\alpha}(\rho_i \xi_i) \bar{F}_i + I_{\alpha}(\rho_i \xi_i) \bar{G}_i - K_{\alpha}(\rho_i \xi_i) \bar{L}_i \}, \quad V_i' = \frac{\bar{E}_i}{H_i}, \quad \bar{V}_i = -\frac{\bar{G}_i}{H_i}, \quad \bar{V}_i = \frac{\bar{L}_i}{H_i}.$$

$J_{\alpha}', Y_{\alpha}', I_{\alpha}', K_{\alpha}'$ はそれぞれ Bessel 関数の変数の間に関する一次微係数。

式(8)ははり理論における振動たわみ角式のことくたわみ角と端モードとの直接の関係をあらわすものではなく、たわみ角および端モード式の各係数間に以下の成立すべき関係式があり。特にたわみ角一端モード式と名付ける。

(3) 節線方程式および連続条件式

扇形板*i+1* × 扇形板*i*とが互いに隣接する節線*i*上における3節線方程式のことを述べる。

$$M_{i, r} + M_{i+1, \ell} = 0 \quad (9)$$

すなはち、節線*i*における扇形板*i+1*と*i*とのたわみ角が連続することより、式(8)を用いて次のことを連続条件式が得られる。

$$\begin{aligned} & \{ S_i J_{\alpha}'(\rho_i) + S_i' Y_{\alpha}'(\rho_i) + S_i I_{\alpha}'(\rho_i) + S_i K_{\alpha}'(\rho_i) \} \delta_{i-1} + \{ t_i J_{\alpha}'(\rho_i) + t_i' Y_{\alpha}'(\rho_i) + t_i I_{\alpha}'(\rho_i) + t_i K_{\alpha}'(\rho_i) \} \delta_i + \{ u_i J_{\alpha}'(\rho_i) \\ & + u_i' Y_{\alpha}'(\rho_i) + u_i I_{\alpha}'(\rho_i) + u_i K_{\alpha}'(\rho_i) \} \frac{M_{i-1, \ell}}{D_i} + \{ v_i J_{\alpha}'(\rho_i) + v_i' Y_{\alpha}'(\rho_i) + v_i I_{\alpha}'(\rho_i) + v_i K_{\alpha}'(\rho_i) \} \frac{M_{i, r}}{D_i} = \{ S_{i+1} J_{\alpha}'(\rho_{i+1} \xi_{i+1}) \\ & + S_{i+1}' Y_{\alpha}'(\rho_{i+1} \xi_{i+1}) + S_{i+1} I_{\alpha}'(\rho_{i+1} \xi_{i+1}) + S_{i+1} K_{\alpha}'(\rho_{i+1} \xi_{i+1}) \} \delta_i + \{ t_{i+1} J_{\alpha}'(\rho_{i+1} \xi_{i+1}) + t_{i+1}' Y_{\alpha}'(\rho_{i+1} \xi_{i+1}) + t_{i+1} I_{\alpha}'(\rho_{i+1} \xi_{i+1}) + t_{i+1} K_{\alpha}'(\rho_{i+1} \xi_{i+1}) \} \delta_{i+1} \\ & + \{ u_{i+1} J_{\alpha}'(\rho_{i+1} \xi_{i+1}) + u_{i+1}' Y_{\alpha}'(\rho_{i+1} \xi_{i+1}) + u_{i+1} I_{\alpha}'(\rho_{i+1} \xi_{i+1}) + u_{i+1} K_{\alpha}'(\rho_{i+1} \xi_{i+1}) \} \frac{M_{i+1, \ell}}{D_{i+1}} + \{ v_{i+1} J_{\alpha}'(\rho_{i+1} \xi_{i+1}) + v_{i+1}' Y_{\alpha}'(\rho_{i+1} \xi_{i+1}) \\ & + v_{i+1} I_{\alpha}'(\rho_{i+1} \xi_{i+1}) + v_{i+1} K_{\alpha}'(\rho_{i+1} \xi_{i+1}) \} \frac{M_{i+1, r}}{D_{i+1}}. \end{aligned}$$

上式に式(9)を代入し、さらに扇形板*i*の固有振数および板剛度 D_i と扇形板*m*のそれらとの比をそれぞれ λ_i, χ_i とすれば、結局、次のことを結果が得られる。

$$\begin{aligned} & \{ S_i J_{\alpha}'(\lambda_i \xi_i) + S_i' Y_{\alpha}'(\lambda_i \xi_i) + S_i I_{\alpha}'(\lambda_i \xi_i) + S_i K_{\alpha}'(\lambda_i \xi_i) \} \delta_{i-1} + \{ t_i J_{\alpha}'(\lambda_i \xi_i) + t_i' Y_{\alpha}'(\lambda_i \xi_i) + t_i I_{\alpha}'(\lambda_i \xi_i) + t_i K_{\alpha}'(\lambda_i \xi_i) \} \\ & - \{ S_{i+1} J_{\alpha}'(\lambda_{i+1} \xi_{i+1}) + S_{i+1}' Y_{\alpha}'(\lambda_{i+1} \xi_{i+1}) + S_{i+1} I_{\alpha}'(\lambda_{i+1} \xi_{i+1}) + S_{i+1} K_{\alpha}'(\lambda_{i+1} \xi_{i+1}) \} \delta_i - \{ t_{i+1} J_{\alpha}'(\lambda_{i+1} \xi_{i+1}) + t_{i+1}' Y_{\alpha}'(\lambda_{i+1} \xi_{i+1}) \\ & + t_{i+1} I_{\alpha}'(\lambda_{i+1} \xi_{i+1}) + t_{i+1} K_{\alpha}'(\lambda_{i+1} \xi_{i+1}) \} \delta_{i+1} - \frac{1}{\chi_i} \{ u_i J_{\alpha}'(\lambda_i \xi_i) + u_i' Y_{\alpha}'(\lambda_i \xi_i) + u_i I_{\alpha}'(\lambda_i \xi_i) + u_i K_{\alpha}'(\lambda_i \xi_i) \} \frac{M_{i-1, \ell}}{D_m} + \left[\frac{1}{\chi_i} \{ v_i J_{\alpha}'(\lambda_i \xi_i) \right. \\ & + \left. v_i' Y_{\alpha}'(\lambda_i \xi_i) + v_i I_{\alpha}'(\lambda_i \xi_i) + v_i K_{\alpha}'(\lambda_i \xi_i) \} + \frac{1}{\chi_{i+1}} \{ u_{i+1} J_{\alpha}'(\lambda_{i+1} \xi_{i+1}) + u_{i+1}' Y_{\alpha}'(\lambda_{i+1} \xi_{i+1}) + u_{i+1} I_{\alpha}'(\lambda_{i+1} \xi_{i+1}) + u_{i+1} K_{\alpha}'(\lambda_{i+1} \xi_{i+1}) \} \right] \frac{M_{i, r}}{D_m} \\ & - \frac{1}{\chi_{i+1}} \{ v_{i+1} J_{\alpha}'(\lambda_{i+1} \xi_{i+1}) + v_{i+1}' Y_{\alpha}'(\lambda_{i+1} \xi_{i+1}) + v_{i+1} I_{\alpha}'(\lambda_{i+1} \xi_{i+1}) + v_{i+1} K_{\alpha}'(\lambda_{i+1} \xi_{i+1}) \} \frac{M_{i+1, \ell}}{D_m} = 0 \quad (10) \end{aligned}$$

$$\text{すなはち, } \chi_i = D_i / D_m, \quad \lambda_i = \rho_i / \rho_m, \quad M_{i, r} = -M_{i+1, \ell} = M_i.$$

したがって、本題の連続扇形板 $A B D C$ の振動方程式は節線上で得られる $(m-1)$ 個の連続条件式と円弧辺 $A B, C D$ での 2 境界条件式とからなる $(m+1)$ 個の連立方程式において、未知数 M_i/D_m の係数の行列式を 0 おくことにより得られ、これを満足する固有値群を求めることになり、連続扇形板の固有振動数が算定されることとなる。

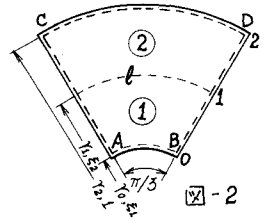


図-2

3. 計算例 図-2 に示すごとく、扇形板 $A B D C$ が四辺 $A B, C D, A C, B D$ を単純支持され、かつ中間に 1 つの円弧支承で単純支持されるものとする。すなはち、支承沈下がないものとすれば、 $\delta_0 = \delta_1 = \delta_2 = 0$ である。また、扇形板 1, 2 は同一の板剛度、板厚、板材が等しいとすれば、 $D_1 = D_2$ 、 $R_1 = \lambda_1 R_2 = Y_1 Y_2 / R_2$ 、 $\lambda_2 = 1$ となるゆえ、連続条件式(10)は次の内容となる。

$$-\xi_2^2 \{U_1 J_{\alpha n}(\xi_2 R_2) + U_1' Y_{\alpha n}(\xi_2 R_2)\} + \bar{U}_1 K_{\alpha n}(\xi_2 R_2) + [\xi_2^2 \{V_1 J_{\alpha n}(\xi_2 R_2) + V_1' Y_{\alpha n}(\xi_2 R_2)\} + \bar{V}_1 K_{\alpha n}(\xi_2 R_2)] + \{U_2 J_{\alpha n}(\xi_2 R_2) + U_2' Y_{\alpha n}(\xi_2 R_2)\} + \bar{U}_2 K_{\alpha n}(\xi_2 R_2) + \{V_2 J_{\alpha n}(\xi_2 R_2) + V_2' Y_{\alpha n}(\xi_2 R_2)\} + \bar{V}_2 K_{\alpha n}(\xi_2 R_2) = 0. \quad (11)$$

円弧辺 $A B, C D$ の単純支持条件より、 $M_0 = M_2 = 0$ が得られ、これらと式(11)とから本題の振動方程式が次のとく与えられる。

$$(V_1 \xi_2^2 + U_2) J_{\alpha n}(\xi_2 R_2) + (V_1' \xi_2^2 + U_2') Y_{\alpha n}(\xi_2 R_2) + (\bar{V}_1 \xi_2^2 + \bar{U}_2) J_{\alpha n}(\xi_2 R_2) + (\bar{V}_1' \xi_2^2 + \bar{U}_2') K_{\alpha n}(\xi_2 R_2) = 0 \quad (12)$$

表-1

| | ξ_2 | $\omega \left(\frac{\pi^2}{R^2} \sqrt{\frac{D}{P_R}} \right)$ |
|-------|----------|--|
| $n=1$ | 10.19186 | 4.97190 |
| | 12.68020 | 7.69604 |

式(12)における $\alpha = \pi/3, n=1, \lambda = 0.3, \xi_2 = 0.65634, \xi_1 = 0.31268$ のときの固有振幅を求めれば、表-1 のごとく算出される。式(12)の左辺は扇形の関数と見做したとき、連続関数とはならず、図-3 に示すごとく不連続点を有する。さらに、 $\xi_2 = 10.19186$ に対する振動モードをえがけた図-4 のごとくである。また図-2 における円弧支承 1 を辺 $A B$ および $C D$ まで移動させた時の ξ_2 の変化をプロットすれば図-5 の結果を得る。図より明らかにごとく、 ξ_2 の最大値 $\xi_{2\max}$ は扇形板の幅の中央すなはち $C D$ 側にすれ、ほぼ $Y_1 = 0.725 Y_2$ の近傍に生ずる。

4. 結語 本題にあらわれた Bessel 関数は長さを変数とする無限級数和で与えられるゆえ、その数値解は収束計算にかかるが、収束は変数長さが 10 以下のときは極めて早く、わずか 15~20 回で有効数字 6 術まで求めうる。また、長さが 10 を越えると一般に慣用されている漸近級数を用いても厳密値との誤差は僅少であり、本題の数値計算にもこれを利用した。長さが 20 に達すると収束が非常におそく、計算に必要な有効数字を取ることが困難となるが、このことには開口部はプログラム作成上特に留意し、より大型の電算機による 3 倍精度演算が必要である。

参考文献

- (1) R.A. Westmann "A Note on Free Vibration of Triangular and Sector Plates" *Journal of the Aerospace Science* 1962
- (2) 山崎・鷹木・金子 "扇形板の自由振動解析" 昭和43年度 土木学会 西部支部研究発表会論文集、昭和44年2月。

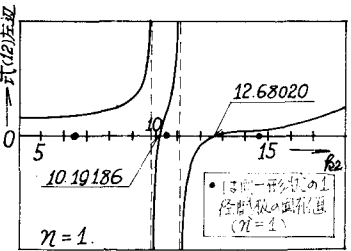


図-3

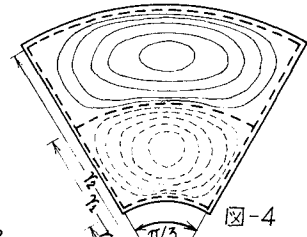


図-4

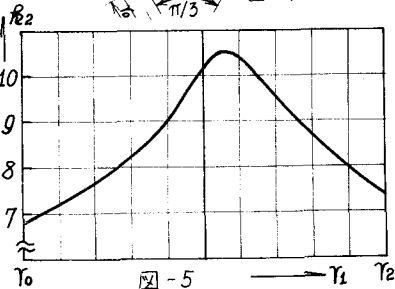


図-5